

Вариант реализации конечноэлементного решения упругопластической задачи при наличии контакта с жёстким штампом

Аннотация

Рассматривается квазистатическая задача контакта изотропного, упругопластического, изотропно упрочняющегося тела и жёсткого штампа без трения для случая малых деформаций. Поведение материала определяется теорией пластического течения с условием текучести Мизеса и диаграммой одноосного растяжения, в качестве параметра упрочнения принимается параметр Одквиста. В этой работе приведён алгоритм шагового конечноэлементного решения данной задачи, совмещающий метод начальных напряжений с построением касательной матрицы жёсткости, которая преимущественно остаётся неизменной при итерациях. Условия контакта удовлетворяются расширенным методом множителей Лагранжа, который приводит к отсутствию зазора между узлами сетки и штампом. На примере вдавливания жёсткого шара в упругопластичное полупространство со степенным упрочнением, в трёхмерной постановке, показана работоспособность реализации алгоритма.

1 Введение

Применение универсальных средств расчёта напряжённо-деформированного состояния, таких как ANSYS, в отдельных случаях может быть осложнено большими вычислительными затратами или некоторыми проблемами с определением требуемых видов нелинейностей или со сходимостью итераций. Это обстоятельство обуславливает потребность в построении узкоспециализированных вычислительных средств. В качестве базовой рассматривается задача контакта упругопластичного тела с жёстким подвижным штампом.

Наиболее распространённым методом решения нелинейных задач является метод Ньютона-Рафсона [1], признанный наиболее быстро сходящимся в вычислительной практике и является основным в большинстве современных средств расчёта, но он требует обновления матрицы жёсткости на каждой итерации, а модифицированный метод Ньютона-Рафсона требует большого количества итераций. В данной работе физическая нелинейность учитывается совмещением построения касательной матрицы жёсткости и метода начальных напряжений [2]: в начале шага по времени матрица строится по начальному приближению и меняется

на итерациях только когда прогнозируется разгрузка после активного нагружения; величины пластических деформаций корректируются радиальным возвратом на поверхность текучести.

Среди алгоритмов учёта контакта [3] выделяется метод множителей Лагранжа, точно обеспечивающий условие непроникания, но его реализация требует введения дополнительных степеней свободы в СЛАУ (множителей Лагранжа), что замедляет итерации и усложняет реализацию. Поэтому для учёта контакта мы реализовали расширенный метод Лагранжа [4], основанный на многократном применении метода штрафа и позволяющий регулировать соотношение скорости сходимости к увеличению обусловленности СЛАУ, которое происходит из-за добавления контактных жёсткостей в матрицу.

2 Постановка задачи

В области Ω заданы уравнения равновесия [5]

$$\frac{\partial \sigma_{ij}}{\partial x_j} = 0. \quad (1)$$

На границе $S = S_1 \cup S_2$ заданы кинематические и силовые краевые условия

$$\mathbf{u}|_{S_1} = \mathbf{u}_0(t), \quad (2)$$

$$\sigma_{ij}n_j|_{S_2} = P_i(t, \mathbf{u}), \quad (3)$$

$$\mathbf{P}(t, \mathbf{u}) = \mathbf{P}^t(t) + \mathbf{P}^c(t, \mathbf{u}), \quad (4)$$

где \mathbf{u} — вектор перемещения, \mathbf{n} — внешняя единичная нормаль к поверхности S_2 , \mathbf{P} — вектор поверхностных сил, \mathbf{P}^t — составляющая внешнего силового воздействия, \mathbf{P}^c — контактная составляющая на $S_c \subseteq S_2$.

На границе S_c задаётся механический контакт с жёстким подвижным штампом геометрически нелинейными краевыми условиями Синьорини [6]

$$\begin{cases} \mathbf{P}^c \cdot \mathbf{n} \leq 0, \\ \mathbf{u} \cdot \mathbf{n} - g \leq 0, \\ (\mathbf{P}^c \cdot \mathbf{n})(\mathbf{u} \cdot \mathbf{n} - g) = 0, \\ (\mathbf{P}^c \cdot \mathbf{n})\mathbf{n} = \mathbf{P}^c, \end{cases} \quad (5)$$

где $\mathbf{n}(\mathbf{x}, \mathbf{t})$ — внутренняя единичная нормаль в точке поверхности штампа, ближайшей к точке тела \mathbf{x} , $g(\mathbf{x}, \mathbf{t})$ — расстояние от точки \mathbf{x} до поверхности штампа (может принимать отрицательные значения в случае внедрения штампа).

Компоненты тензора малых деформаций Коши ε связаны с перемещениями линейными геометрическими соотношениями

$$\varepsilon_{ij} = \frac{1}{2} \left(\frac{\partial u_i}{\partial x_j} + \frac{\partial u_j}{\partial x_i} \right). \quad (6)$$

Для изотропного тела тензор напряжений Коши σ выражается через упругую составляющую ε^e малой деформации Коши обобщенным законом Гука

$$\sigma = C : \varepsilon^e, \quad (7)$$

$$C_{ijkl} = \lambda \delta_{ij} \delta_{kl} + \mu (\delta_{ik} \delta_{jl} + \delta_{il} \delta_{jk}), \quad (8)$$

где C — тензор модулей упругости материала, λ, μ — модули упругости Ламэ, δ — символ Кронекера. Символом “:” обозначено двойное скалярное произведение, т.е. $(C : \varepsilon)_{ij} \equiv C_{ijkl} \varepsilon_{kl}$.

Для связи напряжений и деформаций принимаются определяющие соотношения теории пластического течения [7] с критерием текучести Мизеса:

$$d\varepsilon = d\varepsilon^e + d\varepsilon^p, \quad (9)$$

$$\sigma_y = \Phi(q), \quad (10)$$

$$\begin{cases} d\varepsilon_{ij}^p = \frac{\partial \tilde{\sigma}}{\partial \sigma_{ij}} d\lambda = \frac{\frac{3}{2} s_{ij}}{\tilde{\sigma}} d\lambda, & \text{если } \tilde{\sigma} = \sigma_y \text{ и } dW > 0, \\ d\varepsilon_{ij}^p = 0, & \text{если } \tilde{\sigma} < \sigma_y \text{ или } \tilde{\sigma} = \sigma_y \text{ и } dW \leq 0, \end{cases} \quad (11)$$

где $d\lambda$ — не известный множитель,

$$d\lambda = d\tilde{\varepsilon}^p, \quad (12)$$

σ_y — предел текучести, $\Phi(q)$ — функция, характеризующая поведение изотропно упрочняющегося материала (функцию $\Phi(q)$ можно построить по диаграмме одноосного растяжения, при котором $\tilde{\sigma} = \sigma$, $d\tilde{\varepsilon}^p = d\varepsilon^p$), $d\varepsilon, d\varepsilon^e, d\varepsilon^p$ — приращения полной, упругой и пластической деформаций соответственно, $\tilde{\sigma} \equiv \left(\frac{3}{2} s_{ij} s_{ij} \right)^{\frac{1}{2}}$ — эквивалентное напряжение, $\tilde{\varepsilon} \equiv \left(\frac{2}{3} e_{ij} e_{ij} \right)^{\frac{1}{2}}$ — эквивалентная деформация, $s_{ij} \equiv \sigma_{ij} - \delta_{ij} \frac{1}{3} \sigma_{kk}$ — девиатор напряжений, $e_{ij} \equiv \varepsilon_{ij} - \delta_{ij} \frac{1}{3} \varepsilon_{kk}$ — девиатор деформаций, q — параметр Одквиста,

$$q \equiv \int d\tilde{\varepsilon}^p, \quad (13)$$

dW — девиаторная работа приращения деформаций,

$$dW \equiv s_{ij} d\varepsilon_{ij}. \quad (14)$$

3 Дискретизация

Домножим уравнения (1) на пробную функцию v , применим формулу Грина интегрирования по частям и учтём силовые краевые условия (3), в результате система вариационных уравнений в форме Галеркина примет вид [8]

$$\int_{\Omega} \sigma_{ij} \frac{\partial v}{\partial x_j} d\Omega = \int_{S_2} P_i v dS. \quad (15)$$

Согласно шаговому методу для случая малых деформаций [2, 9], для некоторого шага по времени $t \rightarrow t + \Delta t$ запишем уравнение (15) в приращениях

$$\int_{\Omega} \Delta \sigma_{ij} \frac{\partial v}{\partial x_j} d\Omega = \int_{S_2} \Delta P_i v dS + R_i, \quad (16)$$

$$R_i \equiv \int_{S_2} {}^{(t)} P_i v dS - \int_{\Omega} {}^{(t)} \sigma_{ij} \frac{\partial v}{\partial x_j} d\Omega, \quad (17)$$

где R_i имеет смысл невязки между внутренними напряжениями и силовыми воздействиями, которая понадобится для численной реализации. Здесь и далее для переменных по умолчанию подразумевается момент времени $t + \Delta t$, а момент времени t обозначается левым верхним индексом (t) ; для областей и границ всегда подразумевается момент времени t и обозначение времени опущено.

Запишем закон Гука (7) с учётом (9) в приращениях

$$\Delta \sigma = C : (\Delta \varepsilon - \Delta \varepsilon^p). \quad (18)$$

С целью последующей численной реализации, совмещающей построение касательной матрицы жёсткости и метода начальных напряжений, одну часть приращения $\Delta \varepsilon^p$ учтём путём изменения тензора модулей упругости C на упругопластический тензор \tilde{C} , другую часть — путём добавления начальных напряжений $\Delta \sigma^0$, то есть запишем определяющие соотношения в виде

$$\Delta \sigma = \tilde{C} : \Delta \varepsilon + \Delta \sigma^0, \quad (19)$$

где

$$\Delta \varepsilon^p = \Delta \varepsilon^{\tilde{C}} + \Delta \varepsilon^{\Delta \sigma^0}, \quad (20)$$

$$\Delta\sigma^0 = -C : \Delta\varepsilon^{\Delta\sigma^0}, \quad (21)$$

$$\tilde{C} : \Delta\varepsilon = C : (\Delta\varepsilon - \Delta\varepsilon^{\tilde{C}}). \quad (22)$$

Для нахождения \tilde{C} , с учётом закона течения (11) составим систему

$$\begin{cases} \Delta\sigma^{\tilde{C}} = C : (\Delta\varepsilon - \Delta\varepsilon^{\tilde{C}}) \\ z : \Delta\sigma^{\tilde{C}} = \Delta\tilde{\sigma}^{\tilde{C}} \\ \Delta\varepsilon^{\tilde{C}} = z\Delta\tilde{\varepsilon}^{\tilde{C}} \\ \Delta\tilde{\sigma}^{\tilde{C}} = E^*\Delta\tilde{\varepsilon}^{\tilde{C}}, \end{cases} \quad (23)$$

где

$$z_{ij} \equiv \frac{\partial^{(t)}\tilde{\sigma}}{\partial\sigma_{ij}} = \frac{\frac{3}{2}^{(t)}s_{ij}}{^{(t)}\tilde{\sigma}}, \quad (24)$$

$E^* = \frac{\Delta\tilde{\sigma}^{\tilde{C}}}{\Delta\tilde{\varepsilon}^{\tilde{C}}}$ — параметр упрочнения. При $\tilde{\sigma} \neq 0$, из (23) следует известное [2, 10] выражение

$$\tilde{C} = C - \frac{(C : z) \otimes (z : C)}{E^* + z : (C : z)}, \quad (25)$$

где символом “ \otimes ” обозначено тензорное произведение, т.е. $(a \otimes b)_{ijkl} \equiv a_{ij}b_{kl}$. Используя (8), можно упростить выражение компонент \tilde{C}

$$\tilde{C}_{ijkl} = C_{ijkl} - \frac{4\mu^2}{E^* + 3\mu} z_{ij} z_{kl}. \quad (26)$$

С учётом (21), составляющие приращения $\Delta\varepsilon^p$

$$\Delta\varepsilon^{\tilde{C}} = \left(\frac{2\mu}{E^* + 3\mu} z \otimes z \right) : \Delta\varepsilon = 2\mu \frac{z : \Delta\varepsilon}{E^* + 3\mu} z \quad (27)$$

и

$$\Delta\varepsilon^{\Delta\sigma^0} = -C^{-1} : \Delta\sigma^0 = -\frac{1}{2\mu} \Delta\sigma^0 \quad (28)$$

пропорциональны девиатору напряжений $^{(t)}s$.

Подставим (19) и (6) (для приращений) в левую часть (16) и, воспользовавшись симметрией $\tilde{C}_{ijkl} = \tilde{C}_{ijlk}$, получим

$$\int_{\Omega} \tilde{C}_{ijkl} \frac{\partial \Delta u_k}{\partial x_l} \frac{\partial v}{\partial x_j} d\Omega = \int_{S_2} \Delta P_i v dS - \int_{\Omega} \Delta\sigma_{ij}^0 \frac{\partial v}{\partial x_j} d\Omega + R_i. \quad (29)$$

Перейдём к конечномерному пространству, натянутому на базисные функции $\{\psi_n | n = \overline{1, N}\}$, разложим компоненты приращения

$$\Delta u_k^h = \sum_{n=1}^N q_{(3n+k-3)} \psi_n, \quad (30)$$

подставим вместо v поочерёдно функции ψ_n при $n = \overline{1, N}$, получим СЛАУ

$$\sum_{n=1}^N \sum_{j=1}^3 \sum_{k=1}^3 \sum_{l=1}^3 \int_{\Omega} \tilde{C}_{ijkl} q_{(3n+k-3)} \frac{\partial \psi_n}{\partial x_l} \frac{\partial \psi_m}{\partial x_j} d\Omega =$$

$$\int_{S_2} \Delta P_i \psi_m dS - \sum_{j=1}^3 \int_{\Omega} \Delta \sigma_{ij}^0 \frac{\partial \psi_m}{\partial x_j} d\Omega + R_i|_{v=\psi_m}, \quad (31)$$

которую можно записать в виде

$$\mathbf{G}\mathbf{q} = \mathbf{b}, \quad (32)$$

где элементы матрицы жёсткости \mathbf{G} и вектора \mathbf{b} представимы в виде

$$G_{(3m+i-3)(3n+k-3)} = \sum_{j=1}^3 \sum_{l=1}^3 \int_{\Omega} \tilde{C}_{ijkl} \frac{\partial \psi_m}{\partial x_j} \frac{\partial \psi_n}{\partial x_l} d\Omega, \quad (33)$$

$$b_{(3m+i-3)} = \int_{S_2} \Delta P_i \psi_m dS - \sum_{j=1}^3 \int_{\Omega} \Delta \sigma_{ij}^0 \frac{\partial \psi_m}{\partial x_j} d\Omega + R_{(3m+i-3)}^{\text{node}}, \quad (34)$$

$$R_{(3m+i-3)}^{\text{node}} \equiv \int_{S_2} {}^{(t)}P_i \psi_m dS - \int_{\Omega} {}^{(t)}\sigma_{ij} \frac{\partial \psi_m}{\partial x_j} d\Omega. \quad (35)$$

Для учёта сил контакта, разложим $\Delta \mathbf{P}$ на слагаемые (4)

$$\Delta \mathbf{P} = \Delta \mathbf{P}^t + \Delta \mathbf{P}^c \quad (36)$$

где $\Delta \mathbf{P}^t$ — заданная на временном слое составляющая (константа), $\Delta \mathbf{P}^c$ — контактная геометрически нелинейная составляющая. Считая, что заданы финитные базисные функции на конечноэлементной сетке, то есть каждая базисная функция ненулевая только в одном единственном узле и равна в этом узле единице, заменим приращение контактных распределённых сил со всей поверхности S_c на эквивалентный набор приращений узловых контактных сил в узлах этой поверхности, то есть представим (34) в виде

$$b_{(3m+i-3)} = \Delta F_{(3m+i-3)}^c + \int_{S_2} \Delta P_i^t \psi_m dS - \sum_{j=1}^3 \int_{\Omega} \Delta \sigma_{ij}^0 \frac{\partial \psi_m}{\partial x_j} d\Omega + R_{(3m+i-3)}^{\text{node}}, \quad (37)$$

где

$$\Delta F_{(3m+i-3)}^c = \int_{S_c} \Delta P_i^c \psi_m dS \quad (38)$$

— компоненты приращения контактной силы в узле m .

4 Алгоритм

На некотором шаге по времени $t \rightarrow t + \Delta t$ решается уравнение (32). Чтобы выполнялись условия текучести (11), для каждого КЭ в определяющих соотношениях (19) подбираются параметр E^* и начальное напряжение $\Delta\sigma^0$. Чтобы выполнялись условия контакта (5), в формуле (37) подбираются приращения узловых сил реакции опоры $\Delta F_{(3m+i-3)}^c$.

Перед 0-й итерацией задаётся начальное приближение. Для каждого контактного узла m

$$\begin{aligned} Contact_0 &= {}^{(t)}Contact, \\ \Delta \mathbf{F}_0^c &= 0, \\ \mathbf{x}_0^* &= NearestPoint \left({}^{(t)}\mathbf{x} \right), \\ \mathbf{n} &= Norm \left({}^{(t)}\mathbf{x} \right), \end{aligned} \quad (39)$$

где *Contact* — статус наличия контакта узла со штампом (*true* — есть контакт, *false* — нет контакта),

$$\Delta \mathbf{F}^c = \left\{ \Delta F_{(3m-2)}^c, \Delta F_{(3m-1)}^c, \Delta F_{(3m)}^c \right\} \quad (40)$$

— приращение силы реакции опоры, действующей на узел, \mathbf{x} — координаты узла, \mathbf{x}^* — координаты точки контакта узла с поверхностью штампа, \mathbf{n} — внутренняя единичная нормаль к поверхности штампа, у которой обнулены компоненты, соответствующие зафиксированным кинематическими краевыми условиями (2) координатам. *NearestPoint* (\mathbf{x}) — функция, возвращающая ближайшую к \mathbf{x} точку поверхности штампа, *Norm* (\mathbf{x}) — функция, возвращающая внутреннюю единичную нормаль к поверхности штампа в точке \mathbf{x} .

Для каждого конечного элемента (КЭ) задаётся начальное напряжение

$$\Delta\sigma_0^0 = 0 \quad (41)$$

и параметр упругопластического тензора (25): если на предыдущем шаге по времени происходило активное нагружение, то

$$E_0^* = \frac{\partial \Phi \left({}^{(t)}q \right)}{\partial q}, \quad (42)$$

иначе

$$E_0^* = \infty. \quad (43)$$

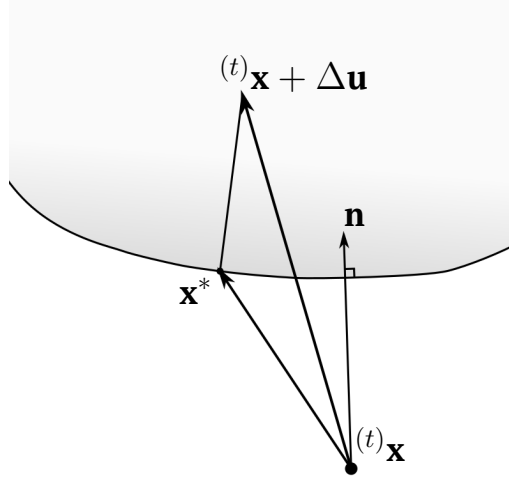


Рис. 1: Контакт некоторого узла сетки со штампом.

После задания начального приближения присваивается номер итерации $k = 0$ и запускается итерационный процесс.

1. Сборка матрицы жёсткости \mathbf{G}_k по формуле (33) с учётом параметра E^* в каждом КЭ.
2. Учёт контакта, составление и решение СЛАУ.

Если для контактного узла m выполняется условие $Contact_k = true$, то, согласно методу штрафа и условиям контакта (5), примем соотношение

$$\Delta \mathbf{F}_{k+1}^c = \left(\mathbf{F}_k^c + \kappa_k \left(\left(\mathbf{x}_k^* - {}^{(t)}\mathbf{x} \right) - \Delta \mathbf{u}_k \right) \right) \cdot \mathbf{n} \cdot \mathbf{n} - {}^{(t)}\mathbf{F}^c, \quad (44)$$

$$\kappa_k = \omega^c \sum_{i=1}^3 \left| G_{k(3m+i-3)(3m+i-3)} \mathbf{n}_i \right|, \quad (45)$$

чтобы штрафная сила реакции опоры действовала по нормали к поверхности штампа и увеличивалась пропорционально зазору между узлом и штампом (рис. 1). Коэффициент контактной жёсткости κ_k выбран близким к жёсткости узла в направлении нормали, с множителем ω^c . Но неизвестными в СЛАУ (32) являются приращения перемещений узлов сетки, поэтому перенесём

$$\Delta \mathbf{u}_k = \{q_{k(3m-2)}, q_{k(3m-1)}, q_{k(3m)}\} \quad (46)$$

в матрицу левой части СЛАУ, получим для узла m подматрицу глобальной контактной матрицы $\tilde{\mathbf{G}}_k^c$, размера 3×3

$$\tilde{G}_{k(3m+i-3)(3m+j-3)}^c = \kappa_k n_i n_j \quad (47)$$

и часть вектора $\Delta \mathbf{F}_{k+1}^c$, не зависящую от неизвестных $\Delta \mathbf{u}_k$,

$$\Delta \tilde{\mathbf{F}}_k^c = \left(\mathbf{F}_k^c + \kappa_k \left(\mathbf{x}_k^* - {}^{(t)}\mathbf{x} \right) \right) \cdot \mathbf{n} \cdot \mathbf{n} - {}^{(t)}\mathbf{F}^c. \quad (48)$$

Если для контактного узла m выполняется условие $Contact_k = false$, то

$$\tilde{G}_{k(3m+i-3)(3m+j-3)}^c = 0, \quad (49)$$

$$\Delta \tilde{\mathbf{F}}_k^c = -{}^{(t)}\mathbf{F}^c. \quad (50)$$

Таким образом, СЛАУ (32) принимает вид

$$(\mathbf{G}_k + \tilde{\mathbf{G}}_k^c) \mathbf{q}_k = \tilde{\mathbf{b}}_k, \quad (51)$$

где вектор $\tilde{\mathbf{b}}_k$ построен по формуле (37) с заменой $\Delta \mathbf{F}_k^c$ на $\Delta \tilde{\mathbf{F}}_k^c$.

В СЛАУ (51) учитываются кинематические краевые условия (2) методом Гауссова исключения и полученная система решается методом \mathbf{LDL}^T разложения. Матрица хранится в симметричном разреженном блочном строчно-столбцовом формате.

3. Из решения СЛАУ (51), для каждого контактного узла m получается приращение перемещения (46) и новое приближение приращения контактной силы $\Delta \mathbf{F}_{k+1}^c$ по формуле (44), если $Contact_k = true$, или по формуле (50), если $Contact_k = false$.

4. Для каждого контактного узла проверяется условие наличия контакта со штампом

$$\begin{aligned} Contact_{k+1} &= g \left({}^{(t)}\mathbf{x} + \Delta \mathbf{u}_k \right) < 0 \text{ или} \\ &\text{или } g \left({}^{(t)}\mathbf{x} + \Delta \mathbf{u}_k \right) \geq 0 \text{ и } \mathbf{F}_{k+1}^c \cdot \mathbf{n} < 0, \end{aligned} \quad (52)$$

где функция $g(\mathbf{x})$ — зазор между точкой \mathbf{x} и штампом (может принимать отрицательные значения в случае внедрения). Если $Contact_{k+1} = true$, то рассчитывается новое приближение \mathbf{x}_{k+1}^*

$$\begin{cases} \mathbf{x}_{k+1}^* = NearestPoint \left({}^{(t)}\mathbf{x} + \Delta \mathbf{u}_k \right), & \text{если } Contact_k = true \\ \mathbf{x}_{k+1}^* = NearestPoint \left({}^{(t)}\mathbf{x} \right), & \text{если } Contact_k = false \end{cases} \quad (53)$$

5. Для каждого КЭ рассчитываются значения $\Delta \varepsilon_k, \Delta \varepsilon_k^{\tilde{C}}, \Delta \varepsilon_k^{\Delta \sigma^0}, \Delta \varepsilon_k^p, \Delta \sigma_k, \Delta q_k$ по

формулам (6), (27), (28), (20), (19), (13)

$$\begin{aligned}
\Delta \varepsilon_{ij} &= \frac{1}{2} \left(\frac{\partial (\Delta u_i)}{\partial x_j} + \frac{\partial (\Delta u_j)}{\partial x_i} \right), \\
\Delta \varepsilon_k^{\tilde{C}} &= 2\mu \frac{z : \Delta \varepsilon_k}{E_k^* + 3\mu} z, \\
\Delta \varepsilon_k^{\Delta \sigma^0} &= -\frac{1}{2\mu} \Delta \sigma_k^0, \\
\Delta \varepsilon_k^p &= \Delta \varepsilon_k^{\tilde{C}} + \Delta \varepsilon_k^{\Delta \sigma^0}, \\
\Delta \sigma_k &= \tilde{C} : \Delta \varepsilon_k + \Delta \sigma_k^0, \\
\Delta q_k &= \Delta \tilde{\varepsilon}_k^p.
\end{aligned} \tag{54}$$

6. Для каждого КЭ проверяются условия активного нагружения

$$\Delta W_k > 0 \text{ и } \tilde{\sigma}_k^{\text{trial}} > \Phi \left({}^{(t)}q \right), \tag{55}$$

где $\Delta W_k \equiv {}^{(t)}s : \Delta \varepsilon_k$, $\sigma_k^{\text{trial}} \equiv {}^{(t)}\sigma + C : \Delta \varepsilon_k$.

Если условия (55) выполняются, то

$$\begin{aligned}
E_{k+1}^* &= E_k^*, \\
\Delta \sigma_{k+1}^0 &= \Delta \sigma_k^0 + \omega^p \frac{{}^{(t)}s}{{}^{(t)}\tilde{s}} d_k,
\end{aligned} \tag{56}$$

где $\omega^p \in (0, 1]$ — коэффициент регуляризации. Значение d_k вычисляется из условия попадания на кривую $\Phi(q)$, с предположением, что приращение полной деформации $\Delta \varepsilon_k$ остаётся неизменным:

$$\left({}^{(t)}\sigma + \Delta \sigma_k + \frac{{}^{(t)}s}{{}^{(t)}\tilde{s}} d_k \right)_{\text{eqv}} = \Phi \left({}^{(t)}q + \left(\Delta \varepsilon_k^p - \frac{1}{2\mu} \frac{{}^{(t)}s}{{}^{(t)}\tilde{s}} d_k \right)_{\text{eqv}} \right). \tag{57}$$

При таком выборе нового приближения методы начальных напряжений и начальных деформаций становятся тождественными. В случае без упрочнения соотношение

$$d_k = \Phi \left({}^{(t)}q + \Delta q_k \right) - \tilde{\sigma}_k \tag{58}$$

приводит к примерно такому же результату.

Если условия (55) не выполняются, то прогнозируется упругое нагружение, нейтральное деформирование или разгрузка, и

$$E_{k+1}^* = \infty, \Delta \sigma_{k+1}^0 = 0. \tag{59}$$

Если ${}^{(t)}s = 0$ и $\tilde{\sigma}_k^{\text{trial}} > \Phi({}^{(t)}q)$, то происходит аварийное завершение итераций (шаг по времени слишком велик).

В случае, когда результате итерации хотя в бы в одном КЭ параметр E^* меняет значение (это может происходить только когда прогнозируется разгрузка после активного нагружения), то приходится перестраивать матрицу жёсткости. Чтобы уменьшить количество изменений матрицы, дополнительно выделяются КЭ, “близкие к разгрузке”, то есть для которых выполняются условия

$$E_{k+1}^* \neq \infty, \quad (60)$$

$$\cos(\theta_k) = \frac{{}^{(t)}s : (C : \Delta\varepsilon_k)}{\|{}^{(t)}s\| \cdot \|C : \Delta\varepsilon_k\|} < \cos(\theta_{\min}), \quad (61)$$

где $\cos(\theta_{\min}) \geq 0$ — параметр, влияющий на количество разложений матрицы жёсткости; знак $\cos(\theta_k)$ совпадает со знаком ΔW_k . Для выбранных таким образом КЭ следующее приближение корректируется:

$$\begin{aligned} E_{k+1}^* &= \infty \\ \Delta\sigma_{k+1}^0 &= -2\mu \Delta\varepsilon_k^p + \omega^p \frac{{}^{(t)}s}{({}^{(t)}\tilde{s})} d_k. \end{aligned} \quad (62)$$

7. Проверяются условия завершения итераций: для каждого контактного узла

$$\begin{aligned} |\Delta\mathbf{F}_{k+1}^c - \Delta\mathbf{F}_k^c| / |\mathbf{F}_{k+1}^c| &< \Delta_F, \\ |\mathbf{r}_{k+1}^* - \mathbf{r}_k^*| &< \Delta_r, \\ \text{Contact}_{k+1} &= \text{Contact}_k, \end{aligned} \quad (63)$$

и для каждого КЭ

$$\begin{aligned} \left(\Phi({}^{(t)}q + \Delta q_k) - \tilde{\sigma}_k \right) / \tilde{\sigma}_k &< \Delta_\sigma, \\ |\Delta q_k - \Delta q_{k-1}| / \tilde{\varepsilon}_k &< \Delta_\varepsilon. \end{aligned} \quad (64)$$

Если все условия удовлетворены, то итерации успешно завершаются и осуществляется переход к следующему временному слою, иначе $k = k + 1$ и переход к шагу 1.

5 Вдавливание жёсткого шара в упруго-пластичное полупространство

Рассмотрим задачу индентации жёсткого шара в упруго-пластичное полупространство [11], которая схематично изображена на рисунке 2.

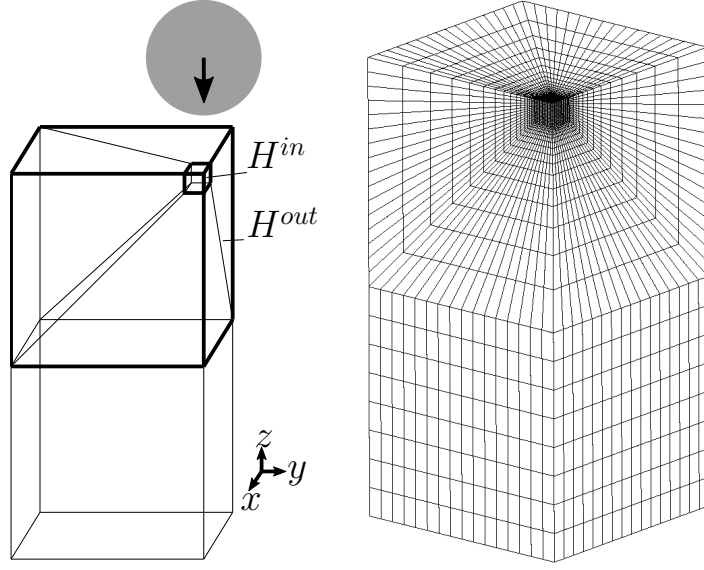


Рис. 2: Геометрия задачи и сетка.

Общую силу реакции опоры P , глубину индентации δ (величину сближения удалённых точек) и площадь контактной поверхности A можно представить в безразмерном виде [12]:

$$\begin{aligned}\bar{P} &= P/P_Y, \\ \bar{A} &= A/A_Y, \\ \bar{\delta} &= \delta/\delta_Y,\end{aligned}\tag{65}$$

где P_Y , A_Y , δ_Y — значения, при которых начинается пластическое течение:

$$\begin{aligned}P_Y &= \frac{9\pi^3}{16}c^3YR^2\left(\frac{E^*}{Y}\right)^{-2}, \\ A_Y &= \frac{9\pi^3}{16}c^2R^2\left(\frac{E^*}{Y}\right)^{-2},\end{aligned}\tag{66}$$

$$\begin{aligned}\delta_Y &= \frac{9\pi^2}{16}c^3YR\left(\frac{E^*}{Y}\right)^{-2} \\ c &= 1.08,\end{aligned}\tag{67}$$

$$E^* = \frac{E}{1-\nu^2},\tag{68}$$

c — константа для случая критерия пластического течения Мизеса, E^* — приведённый модуль упругости, R — радиус шара, E — модуль упругости полупространства, ν — коэффициент Пуассона полупространства, Y — предел текучести полупространства.

Материал с изотропным степенным упрочнением задаётся диаграммой одноосного растяжения вида

$$\begin{cases} \sigma = F(\varepsilon) \equiv E\varepsilon, & \text{если } \sigma < Y, \\ \sigma = F(\varepsilon) \equiv Y \left(\frac{\varepsilon}{\varepsilon_Y} \right)^n, & \text{если } \sigma \geq Y, \end{cases} \quad (69)$$

где $\varepsilon_Y = Y/E$, Y — предел упругости. Соответствующая функция $\sigma_y = \Phi(q)$ (см. (10)) строится из соотношений

$$\Phi(q) = F(\varepsilon), \quad \varepsilon - \frac{1}{E}F(\varepsilon) = q, \quad (70)$$

т.к. $q \equiv \int d\tilde{\varepsilon}^p$ и в одноосном случае $\tilde{\sigma} = \sigma$, $d\tilde{\varepsilon}^p = d\varepsilon^p$. На рисунке 3 приведены кривые для материала при различных коэффициентах n .

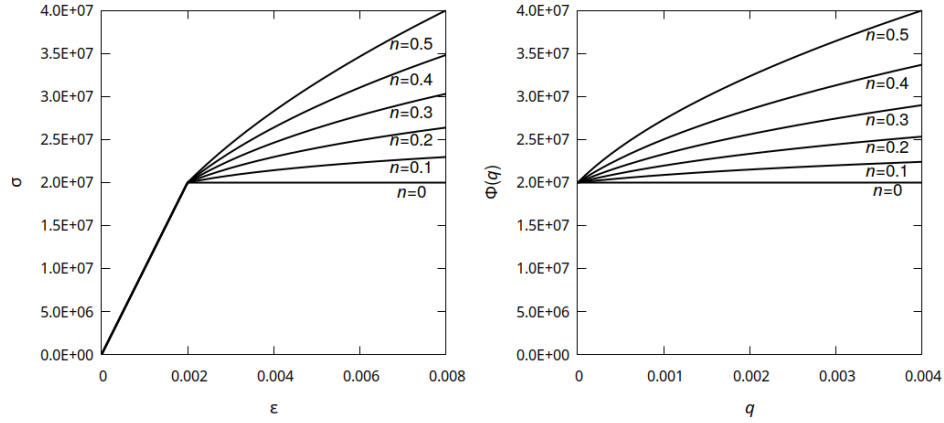


Рис. 3: Диаграммы одноосного деформирования (слева) и соответствующие функции $\sigma_y = \Phi(q)$ (справа) для изотропного степенного упрочнения при $\bar{\delta}_{max} = 110$, $\frac{E^*}{Y} = 550$ и различных значениях коэффициента n .

Параметры задачи приведены в таблице 1. Симметрия относительно плоскостей $x = 0$ и $y = 0$ учитывается однородными кинематическими краевыми условиями, и рассматривается $1/4$ образца. Сетка четвертинки изображена на рисунке 2. Размеры куба H^{in} , в котором наиболее подробная сетка, выбирались так, чтобы зона контакта не выходила за пределы его поверхности. Размеры куба H^{out} выбирались в 10 раз больше, чем размеры H^{in} (исходя из принципа Сен Венана). Коэффициент разрядки выбирался таким, чтобы примыкающие к граням H^{in} конечные элементы были примерно одинакового размера. Были использованы базисные функции Лагранжа, первого порядка.

Таблица 1: Параметры задачи

Параметр	Обозначение	Значение
Модуль Юнга	E	10^{10} Па
Коэффициент Пуассона	ν	0.3
Коэффициент степенно-го упрочнения	n	0, 0.1, ..., 0.9
Безразмерная глубина индентации	$\bar{\delta}_{max}$	1, 3, 6, 10, 15, 20, 30, 50, 70, 90, 110
	$\frac{E^*}{Y}$	110, 220, 550, 1100
Радиус шара	R	1м
Глубина индентации	δ	$\bar{\delta}_{max}\delta_Y$
Размеры H^{in}	$H_x^{in} \times H_y^{in} \times H_z^{in}$	$H_x^{in} = H_y^{in} = H_z^{in} = 1.5\sqrt{2R\delta - \delta^2}$
Размеры H^{out}	$H_x^{out} \times H_y^{out} \times H_z^{out}$	$H_x^{out} = H_y^{out} = H_z^{out} = 10H_x^{in}$
Разбиение H^{in}	$N \times N \times N$	$N = 16$
Коэффициент сгущения	q	находится из решения уравнения $\frac{1-q^{N-1}}{1-q^N} = \frac{H_x^{out} - H_x^{in}}{H_x^{out}}$
Количество КЭ		18432
Количество шагов нагружения/разгрузки		110
Параметры завершения итераций	$\Delta_\sigma, \Delta_\varepsilon, \Delta_F, \Delta_r$	$\Delta_\sigma = \Delta_\varepsilon = \Delta_F = 10^{-10},$ $\Delta_r = 10^{-14}$
Коэффициент в (45)	ω^c	10
Коэффициент в (56)	ω^p	1
Коэффициент в (61)	$\cos(\theta_{min})$	0.1

На рисунках 4, 5, 6 приведены решения при различных параметрах задачи, полученные с помощью реализации приведённого в статье алгоритма; решения ANSYS, полученные на точно такой же сетке, с учётом больших деформаций; и численное решение аналогичной задачи в осесимметричной (двумерной) постановке из [12]. При решении в ANSYS без учёта больших деформаций значения \bar{P} и \bar{A} значительно отличаются от приведённых на рисунке 4, но остаточная глубина индентации $\bar{\delta}_{res}$ отличается не значительно.

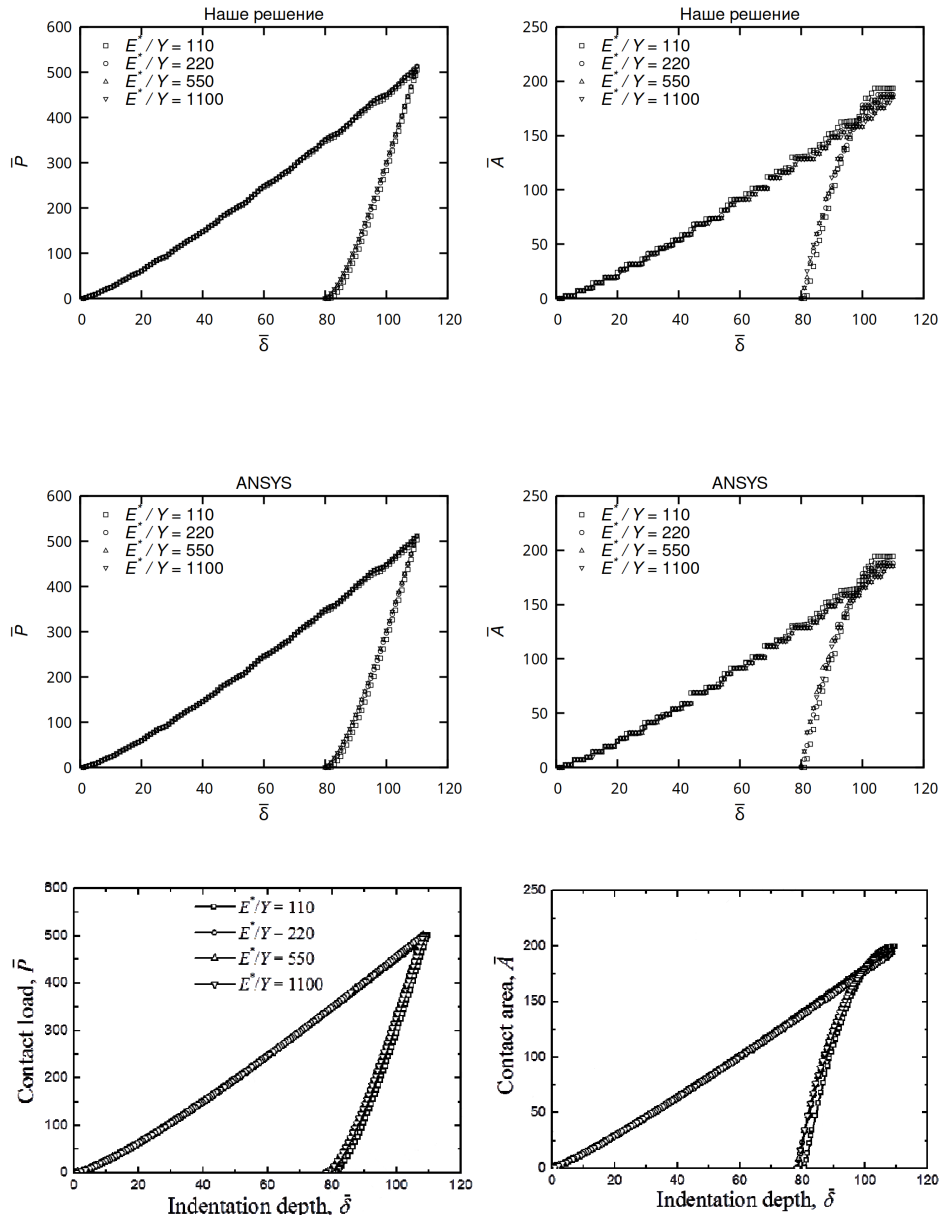


Рис. 4: Зависимости общей силы реакции опоры \bar{P} (слева) и площади контактной поверхности \bar{A} (справа) от глубины индентации $\bar{\delta}$ при $n = 0$, $\bar{\delta}_{max} = 110$, $\frac{E^*}{Y} = 110, 220, 550, 1100$. Сверху полученное численное решение, по середине решение ANSYS, снизу численное решение из [12].

Значения \bar{A} , \bar{P} и $\bar{\delta}_{res}$ в нашей реализации и в ANSYS вычислялись одинаковыми способами. Площадь получена путём суммирования площадей 4-угольных граней конечных элементов, все 4 узла которых находятся в состоянии контакта, т.е. рассчитывалась нижняя оценка площади. Общая сила реакции опоры вычислялась суммированием сил в контактных узлах. Остаточной глубиной считалась

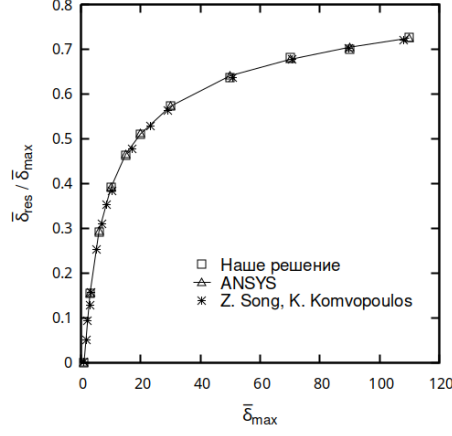


Рис. 5: Зависимость остаточной глубины индентации $\bar{\delta}_{res}$ (по отношению к $\bar{\delta}_{max}$) от максимальной глубины индентации при $n = 0$, $\bar{\delta}_{max} = 1, 3, 6, 10, 15, 20, 30, 50, 70, 90, 110$, $\frac{E^*}{Y} = 550$.

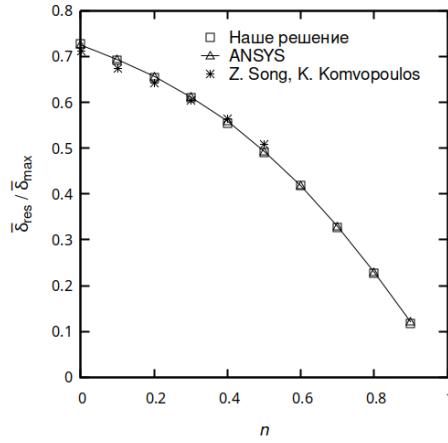


Рис. 6: Зависимость остаточной глубины индентации $\bar{\delta}_{res}$ (по отношению к $\bar{\delta}_{max}$) от коэффициента степенного упрочнения при $n = 0, 0.1, \dots, 0.9$, $\bar{\delta}_{max} = 110$, $\frac{E^*}{Y} = 550$.

глубина индентации на шаге, на котором полностью пропадает контакт.

На рисунке 7 приведены характеристики итерационного процесса для нескольких параметров задачи. Количество изменений матрицы СЛАУ в результате разгрузок на КЭ (физических или численных из-за наличия вектора узловых невязок \mathbf{R}^{node} или погрешности) лишь на некоторых шагах превосходит 2, количество итераций на каждом шаге меньше 40.

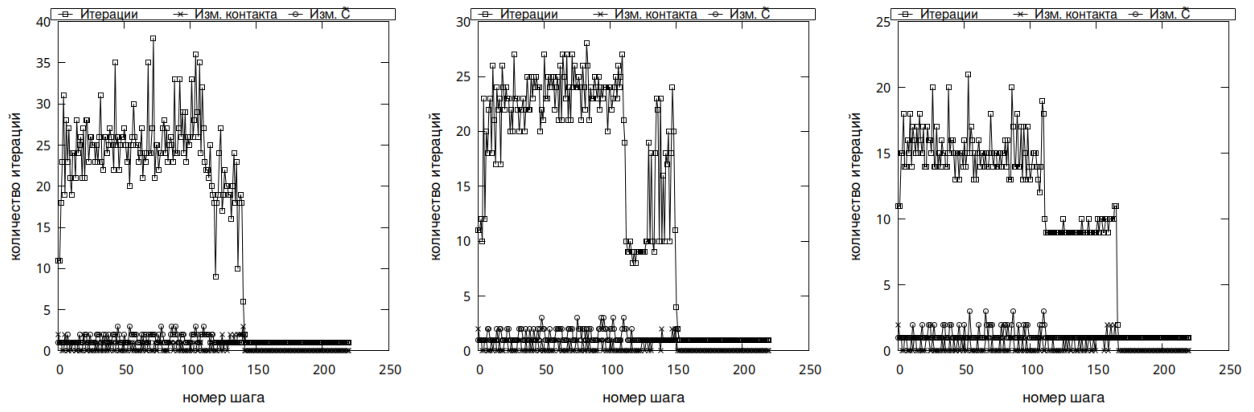


Рис. 7: Количество итераций и изменений матрицы из-за разгрузки или изменения статусов контактных узлов при $n = 0$, $\bar{\delta}_{max} = 110$, $\frac{E^*}{Y} = 550$ (слева), $n = 0$, $\bar{\delta}_{max} = 50$, $\frac{E^*}{Y} = 550$ (по середине) и $n = 0.5$, $\bar{\delta}_{max} = 110$, $\frac{E^*}{Y} = 550$ (справа).

6 Заключение

Проверка реализации приведённого алгоритма на модельной задаче показала удовлетворительные результаты, не смотря на неизменность при итерациях значений направляющих тензоров $z \equiv \frac{\partial^{(t)} \tilde{\sigma}}{\partial \sigma}$ и $\frac{(t)s}{(t)\tilde{s}}$. В случае быстрого поворота траектории сложного нагружения, для лучшей сходимости можно обновлять эти значения (или только одно), например, по правилу трапеций или средней точки [13] и вместо непрерывного (continuum) упругопластического тензора (25) использовать согласованный (consistent) с алгоритмом возврата на поверхность текучести [14] или [15] и т.п. Для простоты, мы эти модификации здесь рассматривали. Нормаль к поверхности штампа $\mathbf{n} = Norm \left({}^{(t)}\mathbf{x} \right)$ так же можно обновлять после каждой итерации, и дополнительные вычислительные затраты на разложения матрицы будут не значительными, если степени свободы контактных узлов (которых на поверхности не много) хранить в нижней части матрицы СЛАУ.

Список литературы

1. Bathe K.-J. Finite Element Procedures in Engineering Analysis. En-glewood Cliffs, New York: Prentice-Hall, 1982.
2. Зенкевич О. Метод конечных элементов в технике. — М. : Мир, 1975. — 542 с.
3. Бураго Н. Г., Кукуджанов В. Н. Обзор контактных алгоритмов //Известия Российской академии наук. Механика твердого тела, 2005. — №. 1. — С. 45-87.

4. Wriggers P. Computational Contact Mechanics. — Springer Science & Business Media, 2006.
5. Писаренко Г. С., Можаровский Н. С. Уравнения и краевые задачи теории пластичности и ползучести. — Киев : Наукова думка, 1981. — 496 с.
6. Кравчук А. С. Вариационные и квазивариационные неравенства в механике. — РФФИ, 1994. — 334 с.
7. Коробейников С. Н. Нелинейное деформирование твердых тел. — Новосибирск : Издательство СО РАН, 2000. — 262 с.
8. Соловейчик Ю. Г., Рояк М. Э., Персова М. Г. Метод конечных элементов для решения скалярных и векторных задач. — Новосибирск : Изд-во НГТУ, 2007. — 895 с.
9. Александров А. В., Алфутов Н. А., Астанин В. В. и др. Энциклопедия "Машиностроение". Том I-3. "Динамика и прочность машин. Теория механизмов и машин". В 2-х книгах. Кн. 2 / Под ред. Фролов К. В. (гл. ред.). — М. : Машиностроение, 1995. — 624 с.
10. Belytschko T., Liu W. K., Moran B. Nonlinear finite elements for continua and structures, 2000.
11. Джонсон К. Механика контактного взаимодействия : пер. с англ. — М. : Мир, 1989.
12. Song Z., Komvopoulos K. An elastic-plastic analysis of spherical indentation: Constitutive equations for single indentation unloading and development of plasticity due to repeated indentation // Mechanics of Materials, 2014.
13. Ortiz M., Popov E. P. Accuracy and stability of integration algorithms for elastoplastic constitutive relations // International journal for numerical methods in engineering. — 1985. — Т. 21. — №. 9. — С. 1561-1576.
14. Simo J. C., Taylor R. L. Consistent tangent operators for rate-independent elastoplasticity // Computer methods in applied mechanics and engineering, 1985. — Т. 48. — №. 1. — С. 101-118.
15. Gu Q. et al. Consistent tangent moduli for multi-yield-surface J_2 plasticity model // Computational Mechanics, 2011. — Т. 48. — №. 1. — С. 97-120.